



**Isfahan University of Technology, Isfahan  
Department of Civil Engineering**

Semi-Analytical solution for static and forced vibration problems of laminated beams through smooth fundamental functions method

دانشجو

**Behrooz Shamsaei**

استاد راهنمای

Mojtaba. Azhari

A. R. Kabiri-Samani

## چکیده

در این پایان نامه روش جدیدی مبتنی بر روش حل معادلات دیفرانسیل پاره‌ای بر اساس روش توابع پایه برای حل مسائل ارتعاش اجباری و استاتیک تیرها و صفحات لایه ای ارائه شده است که می‌توان تفاوت این روش با روش‌های متداول توابع پایه را در استفاده از توابع هموار در ارضاء معادلات حاکم و شرایط مرزی دانست. در روش ارائه شده در این پایان نامه از معادله تعادل به عنوان معادله حاکم بر رفتار سیستم استفاده شده است که موجب از بین رفتن خطاهای معمول در روش‌های مرسوم برای آنالیز رفتار تیر یا ورق می‌شود. برای دست‌یابی به دقت کافی در تعیین تنش و جابجایی موضعی در بین لایه‌ها، روابط همسازی به صورت دقیق ارضاء می‌شود که یکی از مزایای مهم روش پیشنهاد شده نسبت به روش‌های دیگر محسوب می‌گردد. همچنین در روش حاضر از تبدیل ویژه ای برای ارضاء شرایط مرزی استفاده شده است که ارضاء شرایط مرزی مختلف را برای مدلسازی مسائل متفاوت ممکن می‌سازد. فرضیات و روند حلی که در ادامه خواهد آمد، روش ارائه شده را به یکی از دقیق‌ترین و کارآمدترین روش‌های حل در حیطه مسائل کامپوزیت‌ها و مسائل تیرها و صفحات لایه‌ای تبدیل کرده است.

برای بررسی دقت و کارآمدی روش پیشنهاد شده، سعی بر آن بوده است که در طی این پایان نامه نتایج به دست آمده با نتایج دیگر محققین در این زمینه مقایسه گردد، همچنین در صورت نیاز از حل‌های کلاسیک موجود در مقایسه نتایج استفاده شده است.

## فصل اول

### مقدمه و کلیات

کاربرد فراوان مواد کامپوزیتی در علوم هوا فضا و صنایع دریایی موجب توجه روزافروندی به این گونه مواد گردیده است. در نیمه دوم قرن گذشته نمونه‌های مختلفی از کامپوزیت‌ها ساخته و مورد استفاده قرار گرفته است که می‌توان به ساخته شدن نسل جدید ربات‌ها، هلیکوپترها و هوایپماهای نظامی و غیر نظامی از مواد کامپوزیتی اشاره نمود. استفاده فراگیر از مواد کامپوزیتی، علم کامپوزیت را از جمله علوم پایه در صنایع هوا فضا قرار داده است. بنابر تعریف کامپوزیت‌ها، این مواد از لایه‌های مجزا به هم چسبیده تشکیل شده‌اند که این لایه‌ها می‌توانند هم جهت با یکدیگر یا درجهات مختلف نسبت به یکدیگر قرار گرفته باشند.

آنالیز تنش و جابجایی در کامپوزیت‌ها از جمله آنالیز‌های پیچیده به حساب می‌آید که به خاطر رفتار منحصر به فرد مواد لایه‌ای، ساده‌سازی رفتار آن‌ها موجب به وجود آمدن خطأ در آنالیز رفتار این مواد می‌شود. مثلاً "صرف‌نظر از تغییر شکل‌های برشی عرضی که در تئوری‌های کلاسیک لایه‌ای<sup>۱</sup> ارائه شده است، موجب به دست آمدن تغییر شکل‌های کم و فرکانس طبیعی زیاد در این گونه مواد می‌شود. به همین علت تئوری‌های تغییر شکل‌های برشی درجه اول<sup>۲</sup> [۱] یا درجات بالاتر<sup>۳</sup> [۲] برای تحلیل این مواد ارائه شده است که رفتار دقیق‌تری از مواد کامپوزیتی ارائه می‌دهند.

یکی از خصوصیات مهمی که باید در کامپوزیت‌ها در نظر گرفته شود، چسبندگی بین لایه‌ها می‌باشد. در همین خصوص دو مدل معروف برای تحلیل این گونه مواد ارائه شده است که به نام‌های تئوری تک لایه‌ای معادل<sup>۴</sup> و

<sup>۱</sup> Classical Laminated Theory (CLT)

<sup>۲</sup> First order Shear Deformation Theory (FSDT)

<sup>۳</sup> Higher order Shear Deformation Theory (HSDT)

<sup>۴</sup> Equivalent Single-Layer Theory (ESLT)

تئوری چند لایه‌ای<sup>۱</sup> معروف شده اند [۳]. در تئوری تک لایه‌ای معادل می‌توان تغییر شکل، فرکانس طبیعی و بار بحرانی تیر را با دقت کافی به دست آورد ولی این تئوری قادر دست آوردن تنفس در بین لایه‌ها می‌باشد، به همین علت تئوری چند لایه‌ای گسترش پیدا نمود که لایه‌های تیر یا صفحه را به صورت لایه‌های مجزا در نظر می‌گیرد.

در این پایان‌نامه فرمول بندی روش حل، برای مسائل دو بعدی الاستیسیته ارائه گردیده است که به سادگی این روابط قابل گسترش برای مسائل سه بعدی نیز می‌باشند. در روش ارائه شده در این پایان‌نامه، لایه‌ها به صورت مجزا در نظر گرفته می‌شود و معادله تعادل که یک معادله دیفرانسیل پاره‌ای با ضرایب ثابت می‌باشد، به عنوان معادله حاکم بر رفتار جسم ارضا می‌شود. هم چنین در روند حل، روابط همسازی بین لایه‌ها به گونه‌ای ارائه شده است که پیوستگی کلیه تنفس‌ها و جابجایی‌ها بین لایه‌ها به صورت دقیق ارضا شود. در این روش، خطاهای ذکر شده در روش‌های قبلی از بین رفته و حل نیمه تحلیلی مناسبی برای حل مسائل دو بعدی الاستیسیته با شرایط مرزی مختلف ارائه می‌شود.

از جمله تکنیک‌های ارائه شده برای حل معادلات دیفرانسیل پاره‌ای با ضرایب ثابت، تکنیک استفاده از روش توابع پایه<sup>۲</sup> می‌باشد. این روش که در حقیقت یک روش بدون شبکه<sup>۳</sup> می‌باشد، بسیاری از مشکلات موجود روش‌هایی چون روش المان‌های محدود مانند تولید شبکه مناسب را برطرف می‌سازد. از این رو در این پایان‌نامه، جواب همگن معادله تعادل به صورت یک سری مشکل از ترکیبی از توابع نمایی بیان می‌گردد. آن چه روش مورد استفاده در پایان‌نامه حاضر را از روش‌های متداول توابع پایه متمایز می‌سازد، استفاده از توابع هموار در بیان جواب‌ها و هم چنین نحوه برآورد ضرایب ثابت در سری جواب می‌باشد که در آن از تبدیلی ویژه برای محاسبه این ضرایب استفاده می‌گردد. این تبدیل برای اولین بار در مرجع [۴] و در حل مسائل انتشار امواج در محیط‌های نیمه بی‌نهایت به روش المان‌های محدود معرفی گردید. با استفاده از این تبدیل، محاسبه ضرایب در سری جواب تنها بر اساس ارضا شرایط مرزی در گروهی از نقاط در نظر گرفته شده بر روی مرز ناحیه انجام می‌گیرد. هم چنین لازم به ذکر است که در این روش از توابع نمایی به عنوان توابع هموار پایه استفاده گردیده است که متفاوت با توابع منفرد مورد استفاده در حل مسائل المان‌های مرزی در دیگر روش‌های توابع پایه می‌باشد.

<sup>۱</sup> Layer-Wise Theory (LWT)

<sup>۲</sup> Method of fundamental solutions

<sup>۳</sup> Meshless methods

## ۱-۲ پیشینه علمی مسأله

کارهای انجام شده در زمینه حل تیرها و صفحات لایه‌ای بر مبنای تئوری‌های موجود در این زمینه می‌باشد. لذا در ادامه به بحث و بررسی مختصری پیرامون مهم ترین تئوری‌های موجود در زمینه تیرها و صفحات می‌پردازیم.

در قسمت اول مقدمه‌ای بر تئوری‌های موجود بیان می‌شود. در قسمت دوم و سوم تحقیقات انجام شده توسط محققان به ترتیب در زمینه حل مسائل استاتیکی و دینامیکی تیرها، و در قسمت چهارم مقدمه‌ای بر تاریخچه روش توابع پایه ارائه می‌گردد.

### ۱-۲-۱ مقدمه‌ای بر تئوری‌های موجود

روش‌های حل کارآمد در زمینه تیرها و صفحات لایه‌ای، روش‌هایی هستند که دو مسئله مهم را در تیرها و صفحات لایه‌ای پوشش دهنند. این دو مسئله عبارتند از:

الف) ناهمسانی صفحه‌ای<sup>۱</sup>

ب) ناهمسانی عرضی<sup>۲</sup>

که بنابر تعاریف موجود در مرجع [۳] به صورت زیر تعریف می‌شوند:

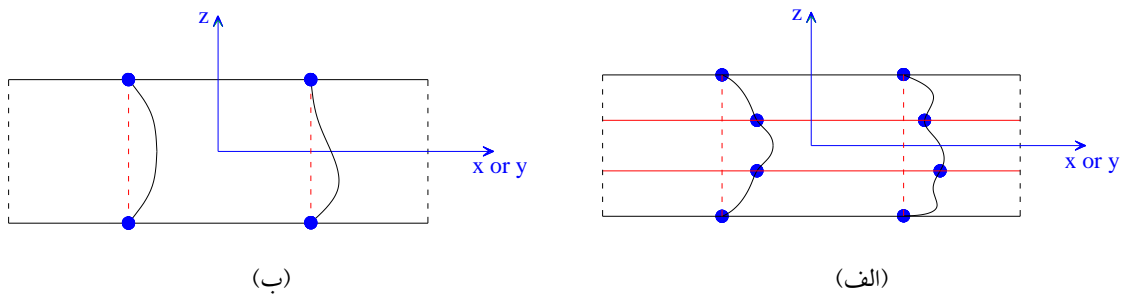
الف) ناهمسانی صفحه‌ای:

در حالتی که تیرها و صفحات لایه‌ای از لایه‌های ارتوتروپیک تشکیل شده باشند در آنالیز رفتار این مواد، ناهمسانی صفحه‌ای پدید می‌آید. علت این پدیده، وجود خصوصیات فیزیکی- مکانیکی متفاوت در بین لایه‌ها می‌باشد که موجب می‌شود ماده نسبت به مواد ایزوتروپیک تغییر شکل برشی از درجه بالاتر از خود نشان دهد. به همین دلیل معمولاً<sup>۳</sup> به سازه‌های ساخته شده از مواد لایه‌ای، سازه‌های با تغییر شکل عرضی زیاد<sup>۳</sup> اطلاق می‌شود. به عنوان مثال مواد کامپوزیتی پیشرفته‌ای که هم اکنون در صنایع هواپضا کاربرد دارند و دارای مدول یانگ متفاوت در جهات مختلف و مدول برشی کم می‌باشند، رفتار برشی پیچیده‌تری را نسبت به مواد ایزوتروپیک از خود نشان می‌دهند. علت عدمه این پدیده، اثر گذاری همزمان کرنش‌های عمودی و برشی در میدان جابجایی می‌باشد که موجب به وجود آمدن مشکلات فراوانی در حل مواد لایه‌ای ارتوتروپیک می‌شود.

<sup>۱</sup> In-plane Anisotropy (IA)

<sup>۲</sup> Transverse Anisotropy (TA)

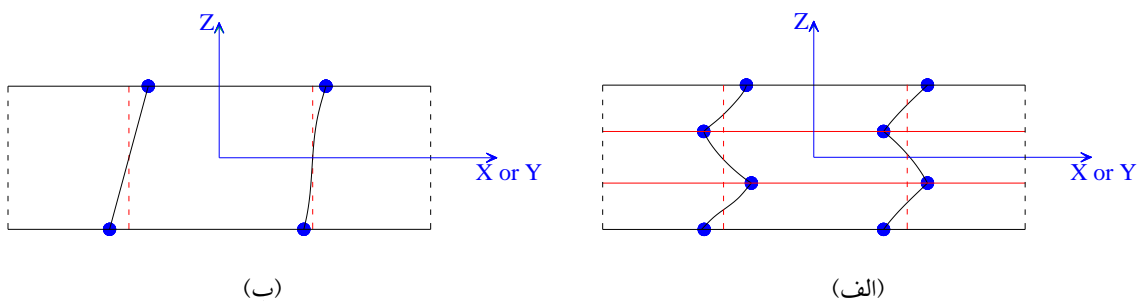
<sup>۳</sup> High Transversely Deformable (HTD)



شکل ۱-۱ بررسی ناهمسانی صفحه‌ای و تغییرات برش در ضخامت تیر (الف): تیر چند لایه ارتوتروپیک: برش رفتار پیچیده‌ای دارد  
(ب): تیر تک لایه‌ای: برش رفتار ساده‌تری نسبت به مواد ارتوتروپیک دارد

ب) ناهمسانی عرضی:

ناهمسانی عرضی یا اثرات زیگزاگ<sup>۱</sup> در هنگامی که جنس لایه‌ها متفاوت باشد اتفاق می‌افتد که در این حالت خصوصیات متفاوت موجود در لایه‌ها باعث به وجود آمدن تغییرات شدید در جهت شبیه جابجایی در راستای ضخامت ماده می‌گردد. به همین دلیل به این گونه مواد، مواد ناهمسان عرضی<sup>۲</sup> اطلاق می‌شود.



شکل ۱-۲ بررسی ناهمسانی عرضی و اثرات زیگزاگ در مقایسه تغییرات جابجایی در ضخامت تیر (الف): تیر چند لایه ارتوتروپیک  
(ب): تیر تک لایه‌ای

تنش‌های داخل صفحه‌ای ( $\sigma_p = (\sigma_{11}, \sigma_{22}, \sigma_{12})$ ) در مواد لایه‌ای می‌تواند غیر پیوسته باشد ولی این در صورتی است که بنابر روابط پیوستگی تنش‌های برشی بین صفحه‌ای ( $\sigma_n = (\sigma_{13}, \sigma_{23}, \sigma_{33})$ ) باید پیوسته باشد که به این پدیده، پیوستگی بین لایه‌ای<sup>۳</sup> می‌گویند. برای درک بهتر میدان تنش و روابط پیوستگی بین آن‌ها، شکل ۱-۳ ارائه شده است. این روابط پیوستگی جابجایی و تنش در بین لایه‌ها، به نام پیوستگی  $C^0$  در راستای<sup>۴</sup>  $Z$  معروف شده

<sup>۱</sup> Zig-Zag effects

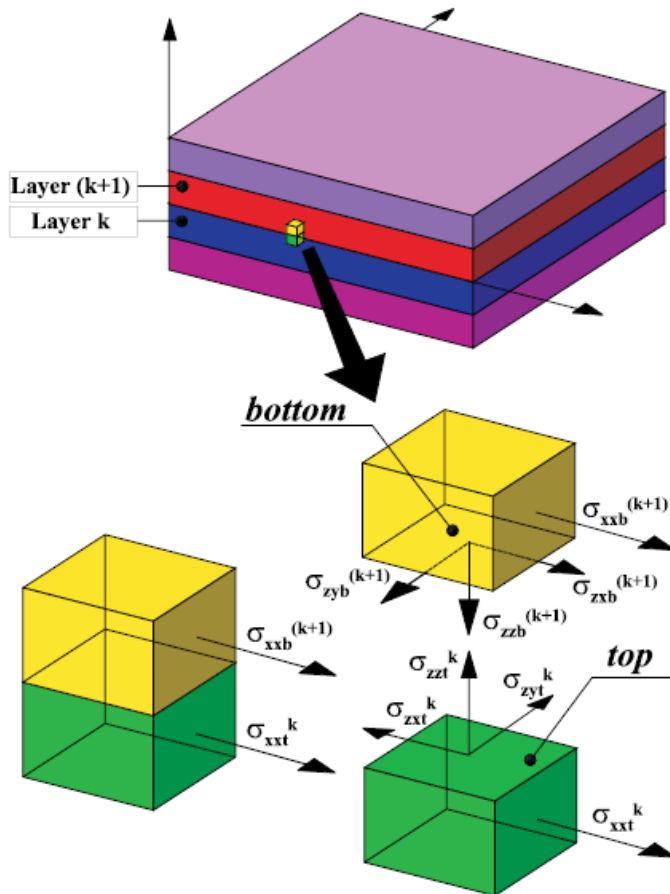
<sup>۲</sup> Transversely Anisotropic Materials (TAM)

<sup>۳</sup> Interlaminar Continuity (IC)

<sup>۴</sup>-requirements  $C_z^0$

است که بنابر مطالب ارائه شده در مرجع [۵] دست‌یابی به یک تئوری مناسب برای حل مسائل تیرها و صفحات لایه‌ای

بدون ارضاء رابطه  $C_z^0$  امکان‌پذیر نمی‌باشد.



شکل ۱-۳ نمایش مؤلفه‌های تنش داخل صفحه و بین صفحه‌ای [۳]

این دو پدیده خاص در مواد لایه‌ای نقش عمده‌ای را در به وجود آمدن تئوری‌های مربوط به صفحات و پوسته‌ها و روابط اجزاء محدود وابسته به این تئوری‌ها بازی می‌کنند. می‌توان تفاوت عمدۀ این تئوری‌ها را در مدلسازی پیوستگی تنش و جابجایی در بین لایه‌ها و همچنین در مدلسازی میدان جابجایی در هر لایه دانست. قبل از پرداختن به تاریخچه کارهای انجام شده توسط محققین به عنوان مقدمه در قسمت (الف) به بررسی مختصر روش‌های مدلسازی پیوستگی بین لایه‌ها و در قسمت (ب) به بررسی میدان‌های مختلف جابجایی ارائه شده می‌پردازیم.

**(الف)** برای حل مسئله مدلسازی پیوستگی بین لایه‌ها، دو مدل معروف به نام‌های تئوری تک لایه‌ای معادل و تئوری چند لایه‌ای معرفی شده است.

در تئوری چند لایه‌ای رابطه جابجایی هر لایه به صورت زیر است که در آن  $k$  معرف هر لایه می‌باشد.

$$f^k(x, y, z) = f_1^k(x, y) F_1^k(z) + \dots + f_n^k(x, y) F_n^k(z) \quad (1-1)$$

در این حالت معادلات حاکم در هر لایه جداگانه ارضاء می شود و تغییرمکان و تنش برشی یکسان به عنوان یک قید در سطح تماس لایه‌ها ارضاء می شود<sup>[۶]</sup>.

در تئوری تک لایه‌ای، معادله زیر برای کل لایه‌ها ارضاء می شود.

$$f(x, y, z) = f_1(x, y) F_1(z) + \dots + f_n(x, y) F_n(z) \quad (2-1)$$

که بنا بر تعریف موجود در مرجع [۶] این تئوری با عنوان تئوری تک لایه‌ای معادل معرفی شده است.

ب) از جمله تلاش‌های اولیه صورت گرفته در زمینه حل تیرها و ورق‌ها، حل صفحات نازک براساس تئوری کرشef<sup>۱</sup> می‌باشد که به تئوری کلاسیک ورق<sup>۲</sup> نیز شهرت دارد. این تئوری بر اساس فرضیات زیر بنا شده است:

۱) بردارهای مستقیم عمود بر صفحه  $u_x$  در صفحه میانی بعد از تغییر شکل نیز مستقیم و عمود بر صفحه باقی بمانند.

۲) صفحات جانبی قابلیت تغییر طول ندارند ( $\epsilon_{zz} = 0$ ).

۳) کرنش‌های برشی  $\epsilon_{xz}$  و  $\epsilon_{yz}$  قابل اغماس هستند و خطوط مستقیم عمود بر صفحه میانی پس از تغییر شکل ورق، همچنان مستقیم باقی می‌مانند.

بنابر این تئوری می‌توان میدان جابجایی را به صورت زیر تعریف نمود:

$$\begin{aligned} u(x, y, z) &= -z \frac{\partial w_0}{\partial x} + u_0 \\ v(x, y, z) &= -z \frac{\partial w_0}{\partial y} + v_0 \\ w(x, y, z) &= -w_0(x, y) + w_0 \end{aligned} \quad (3-1)$$

که در این رابطه  $u$  و  $v$  به عنوان مؤلفه‌های جابجایی شناخته می‌شوند و  $w_0$  جابجایی نقطه‌ای در وسط صفحه را نشان می‌دهد.

همان گونه که در فرضیات کرشef بیان شد، تئوری کلاسیک ورق قادر به بیان کردن میزان کرنش برشی عرضی یا تنش برشی عرضی نمی‌باشد که این خود موجب به وجود آمدن نتایج نادرست در تحلیل صفحات ضخیم می‌شد و استفاده از این تئوری را در حد تحلیل صفحات نازک محدود نمود.

پس از این مرحله محققان سعی بر حل صفحات ضخیم را آغاز نموده‌اند که بنای آن براساس فرضیه Reissner-Mindlin<sup>۳</sup> می‌باشد. این فرضیه موجب به وجود آمدن تئوری تغییر شکل برشی مرتبه اول شد. در این فرضیه محدودیت

<sup>۱</sup> Kirchoff's hypothesis

<sup>۲</sup> Classical Plate Theory (CPT)

<sup>۳</sup> Reissner-Mindlin's hypothesis

موجود در تئوری کلاسیک ورق اصلاح شده است و فرض بر این است که صفحات عمود بر صفحه میانی، چرخش‌های مستقل  $\phi_x$  و  $\phi_y$  را در راستای محورهای  $x$  و  $y$  تجربه می‌کنند.

می‌توان میدان جابجایی را در این تئوری به صورت زیر نشان داد:

$$\begin{aligned} u(x, y, z) &= z\phi_x(x, y) + u_0 \\ v(x, y, z) &= z\phi_y(x, y) + v_0 \\ w(x, y, z) &= w_0(x, y) + w_0 \end{aligned} \quad (4-1)$$

که در آن  $\phi_x$  و  $\phi_y$  به ترتیب چرخش بردار نرمال حول محورهای  $y$  و  $x$  می‌باشند.

تئوری تغییر شکل برشی مرتبه اول موجب حصول تنش برشی ثابت در ضخامت صفحه می‌شود که با جواب معادله تعادل که این تنش‌ها را به صورت توابع درجه دو معرفی می‌کند در تضاد می‌باشد. این نقص در این تئوری با فرض نمودن ضرایب اصلاحی برای تنش از بین رفته است.

پس از این تئوری، تئوری‌های مرتبه بالاتر صفحه توسعه پیدا کرد که می‌توان به تئوری‌های مرتبه دو و سه اشاره نمود. در این تئوری‌ها برای بیان دقیق‌تر تغییر مکان، از چند جمله‌ای هایی با درجات بالاتر استفاده شده است.

میدان جابجایی در تئوری تغییر شکل برشی مرتبه سوم که توسط ردی پیشنهاد شده است به صورت زیر می‌باشد [۶].

$$\begin{aligned} u(x, y, z) &= z\phi_x(x, y) + z^3\left(-\frac{4}{3h^2}\right)\left(\phi_x + \frac{\partial w_0}{\partial x}\right) + u_0 \\ v(x, y, z) &= z\phi_y(x, y) + z^3\left(-\frac{4}{3h^2}\right)\left(\phi_y + \frac{\partial w_0}{\partial y}\right) + v_0 \\ w(x, y, z) &= w_0(x, y) + w_0 \end{aligned} \quad (5-1)$$

پس از گسترش روابط مربوط به تئوری تغییر شکل برشی مرتبه اول و مراتب بالاتر، محققین زیادی روابط اجزاء محدود را بر اساس این تئوری‌ها گسترش دادند که ثمره آن به وجود آمدن المان‌هایی بود که روابط مربوط به این تئوری‌ها را ارضاء می‌نمودند. هر چند این المان‌ها بسیار کارآمد بودند ولی هنوز مشکلاتی در آن‌ها وجود داشت. از جمله مشکلاتی که این دسته از المان‌ها با آن مواجه بودند می‌توان به قفل برشی<sup>۱</sup>، به وجود آمدن مودهای ناصحیح<sup>۲</sup> در حل المان‌ها و مشکلاتی در به دست آوردن تنش در آن‌ها اشاره نمود که همین موضوع محققان را برآن داشت که از فرمولاسیون جدیدتری استفاده نمایند که در آن‌ها مشکلات نامبرده شده نیز حل شده باشند.

<sup>1</sup> Shear Locking

<sup>2</sup> Spurious modes

## ۱-۲-۲ تاریخچه حل مسائل استاتیک تیرها و صفحات لایه‌ای

تکنیک‌های مختلفی برای حل تیرها و صفحات لایه‌ای بر پایهٔ تئوری تک لایه‌ای معادل ارائه شده است که می‌توان آن‌ها را به روش‌های بر پایهٔ تئوری کلاسیک ورق [۷-۹]، تئوری تغییر شکل برشی درجه اول [۱۰-۱۲] و تئوری تغییر شکل برشی درجات بالاتر تفکیک نمود.

همان‌گونه که در قسمت قبل توضیح داده شد، در میان این نظریه‌ها، روش‌های بر پایهٔ تغییر شکل برشی درجات بالاتر مورد توجه بیشتری قرار دارند که تعداد زیادی از این روش‌ها توسط لو و همکاران [۱۳]، ردی [۱۴] و کانت و پاندیا [۱۵] برای آنالیز صفحات کامپوزیتی ارائه شده است ولی این نظریه‌ها فاقد جواب‌های منطقی برای به دست آوردن تنش در بین لایه‌ها بودند. این مسئله موجب شد که با تلاش‌های رولفز و همکاران [۱۶]، نور و همکاران [۱۷]، ردی [۶] و لو و همکاران [۱۸] با استفاده از تئوری جدید تک لایه‌ای معادل درجه بالاتر و با ارضاء معادلات تعادل، جواب‌های دقیق تری به دست آید. با وجود این که روش‌های یاد شده موجب به دست آمدن حل‌های دقیق‌تری می‌گردند، استفاده از این روش‌ها در حل مسائلی که دارای هندسه و بارگذاری پیچیده هستند، نیازمند صرف زمان و هزینهٔ فراوانی است.

از معادلات الاستیستیه می‌توان چنین نتیجه گرفت که ارضاء پیوستگی تنش‌های عمودی و برشی و همچنین یکسان بودن تغییرمکان در بین لایه‌ها، از ملزمات دست‌یابی به حل مناسب می‌باشد [۱۹-۲۱]. به همین دلیل روش‌های مختلفی بر پایهٔ تئوری چند لایه‌ای از طرف ردی [۲۲]، سلداداتو [۲۳]، وو و کو [۲۴]، کاررا و دماسی [۲۷-۲۵] و دیگران ارائه گردیده است که جواب‌های قابل قبولی را برای تغییر مکان و تنش‌های ناشی از خمش ارائه می‌دهند ولی مشکل اصلی این روش‌ها نیز در ارضاء نشدن پیوستگی تنش‌های برشی در بین لایه‌ها می‌باشد.

برای رفع این مشکل، کلاس جدیدی از تئوری زیگزاگ<sup>۱</sup> در زمینهٔ تیرها و صفحات لایه‌ای ارائه شد. با توجه به مطالب ارائه شده در مرجع [۲۸]، تئوری زیگزاگ ابتدا در سال ۱۹۳۵ توسط لخینیتسکی بر اساس روابط الاستیستیه ارائه شد [۲۹] و آمبارتومیان [۳۰] تئوری زیگزاگ را بر اساس تئوری ریسنر-میندلین برای صفحات ارتوتروپیک توسعه داد. دی سیووا نیز روش خود را بر اساس تئوری زیگزاگ و تئوری تغییر شکل برشی درجه اول بیان نمود. این روش که تعداد درجات آزادی در آن مستقل از تعداد لایه‌ها می‌باشد روشی کارآمد محسوب می‌شود [۳۱ و ۳۲]. وی همچنین تئوری خود را بر اساس تئوری تغییر شکل برشی درجات بالاتر نیز گسترش داد. از جمله محققین دیگر در این زمینه می‌توان به آوریل اشاره نمود که فرم گستردهٔ تئوری زیگزاگ را بر اساس تئوری تغییر شکل برشی درجه

---

<sup>۱</sup> Zig-Zag theories (ZZTs)

بالاتر ارائه نمود [۳۳]. پس از آن مدل سه بعدی روش زیگزاگ توسط پانتانو و آوریل ارائه شد [۳۴] و سپس مدل لایه‌ای تئوری زیگزاگ با پیوستگی تنش برشی عرضی برای اولین بار توسط آمراسومیان ارائه گردید [۳۵]. از جمله روش‌های قابل ذکر دیگر روش اجزاء محدود تنش هیرید<sup>۱</sup> می‌باشد که برای اولین بار توسط ماو و همکاران ارائه شد. در این نظریه میدان تنش مستقل از میدان جابجایی در نظر گرفته می‌شود. این موضوع خود موجب ارضاء نشدن روابط اساسی الاستیسیتیه می‌گردد [۳۶]. محققان دیگری نیز در این زمینه به فعالیت پرداخته‌اند که می‌توان نظریه ارائه شده توسط دزایی و رامتکار که بر پایه ارضاء روابط الاستیسیتیه بنا شده است را روش کارآمدی در این زمینه قلمداد نمود [۳۷].

در قسمت قبل خلاصه‌ای از مهم‌ترین فعالیت‌های صورت گرفته در زمینه حل تیرها و صفحات لایه‌ای ارائه گردید و همان طور که بیان شد، روش‌های متفاوتی برای حل مسائل تیرها و صفحات لایه‌ای وجود دارد که خود نشانگر اهمیت و کاربرد فراوان این مواد می‌باشد.

#### ۱-۲-۳ تاریخچه حل مسائل ارتعاش اجباری تیرها و صفحات لایه‌ای

در مقایسه با کارهای انجام شده برای حل مسئله استاتیک تیرها و صفحات لایه‌ای، فعالیت‌های صورت گرفته برای حل مسئله ارتعاش این مواد ناچیز می‌باشد. از طرف دیگر، در صورتی که به بررسی تاریخچه حل مسئله ارتعاش این مواد پردازیم، در می‌یابیم که مسئله ارتعاش آزاد<sup>۲</sup> صفحات لایه‌ای در توجه بیشتری در مقایسه با مسئله ارتعاش اجباری<sup>۳</sup> این گونه مواد قرار دارد. همان طور که قبل<sup>۴</sup> بیان شد، مواد کامپوزیتی کاربرد زیادی در صنعت هوافضا دارند و وجود بارهای دینامیکی فراوان در این صنعت، اهمیت بررسی مسئله ارتعاش اجباری این مواد را دوچندان می‌کند.

ساده‌ترین روش بررسی معادلات حرکت تیرها و صفحات، روش آنالیز مودال<sup>۵</sup> می‌باشد که بیشتر محققین نیز روش‌های خود را بر پایه این نظریه بنا نهاده‌اند [۳۸و۳۹]. میلر و آدامز در سال ۱۹۷۵، بر اساس این روش و تئوری تغییر شکل برشی درجه اول، روشی برای یافتن فرکانس‌های طبیعی تیر طره ارائه نمود [۴۰]. بانرجی در سال ۲۰۰۱ در روشی مشابه و با در نظر گرفتن اثرات پیچش، روشی برای حل تیرهای طره ارائه نمود [۳۸و۳۹]. دانگ و همکاران، این روش را برای حل تیرهای طرء پله‌ای گسترش داد [۴۱] و آبرامویچ با استفاده از این روش، مسئله ارتعاش تیرهای طرء لایه‌ای را تحت بارهای گرانشی مورد بررسی قرار داد [۴۲].

<sup>۱</sup> Hybrid-stress FE method

<sup>۲</sup> Free vibration analysis

<sup>۳</sup> Forced vibration analysis

<sup>۴</sup> Modal analysis

روش آنالیز مودال در حالتی که تیرها یا صفحات دارای لایه‌های مختلف با سختی‌های متفاوت باشند و یا شرایط مرزی از حالت ساده به پیچیده تبدیل گردد، فاقد جواب‌های رضایت‌بخش می‌باشد. سابرامانیان و گرگ در سال ۱۹۹۷ با استفاده از روش ماتریس انتقال<sup>۱</sup> توانستند بر این مشکل فائق آیند و مسئله تیر با شرایط مرزی مختلف را حل نمایند[۴۳]. پس از آن‌ها ییلدیریم و کیرال نیز با استفاده از این روش، مسئله ارتعاش آزاد خارج از صفحه تیرهای لایه‌ای متقارن را حل نمودند[۴۴].

از جمله روش‌های دیگر محاسبه جابجایی و دوران تیرهای در معرض بارهای دینامیکی، روش توابع تأثیر خمث<sup>۲</sup> می‌باشد. بر خلاف روش آنالیز مودال، در این روش نیازی به محاسبه فرکانس‌های طبیعی و مودهای ارتعاش نمی‌باشد. روش توابع تأثیر خمث مستقل از شرایط مرزی بوده و استفاده از این روش برای آنالیز مود نامتقارن بیشتر از روش آنالیز مودال می‌باشد. محققان زیادی با استفاده از این روش مسئله ارتعاش آزاد تیر اولر-برنوی<sup>۳</sup> را حل نموده‌اند که می‌توان به پنی[۴۵] و فرناندز و ناوارو در سال ۲۰۰۲ اشاره نمود[۴۶]. اصول این روش بر پایه فرضیه کرشوف و هم‌چنین بر پایه تئوری تغییر شکل برشی درجه اول یا درجات بالاتر بنا شده است که خود نشانگر ضعف این روش در حل تیرهای شخصیم می‌باشد.

همان‌گونه که توضیح داده شد، کلیه روش‌های موجود برای آنالیز ارتعاش اجباری تیرها و صفحات لایه‌ای دارای مشکلات زیادی در آنالیز تیرها و صفحات شخصیم با شرایط مرزی مختلف بوده که خود نشانگر لزوم انجام تحقیقات بیشتر در این زمینه می‌باشد.

#### ۱-۲-۴ تاریخچه روش توابع پایه

بر اساس مطالب ارائه شده در مرجع [۴۷]، روش توابع پایه که نوعی روش مرزی غیرمستقیم<sup>۴</sup> محسوب می‌گردد، اولین بار در اواسط دهه ۶۰ میلادی توسط دو محقق روس، الکسیدزه و کوپرادزه معرفی گردید. این در حالی است که فرمول‌بندی کامل این روش برای اولین بار در سال ۱۹۷۷ توسط میتون و جانسون ارائه شد. ایده اصلی در این روش تقریب جواب معادله دیفرانسیل با ترکیب خطی توابع صدق کننده در آن به صورت یک سری می‌باشد. به این ترتیب، با صدق کردن کلیه جملات سری جواب در معادله دیفرانسیل حاکم، حل مسئله اولیه به صورت برآورد ضرایب ثابت در سری جواب به گونه‌ای که شرایط مرزی ارضا گردند کاهش می‌یابد. از جمله مهم‌ترین

<sup>۱</sup> Transfer matrix method

<sup>۲</sup> Flexibility influence function method

<sup>۳</sup> Euler-Bernoulli beam

<sup>۴</sup> Indirect boundary method

نقاط قوت در این روش، دست‌یابی به دقت مناسب با استفاده از تعداد نسبتاً کمی نقطه برای مدل‌سازی مسئله می‌باشد. از سوی دیگر، از آنجا که در این روش نیازی به شبکه‌بندی ناحیه حل و یا انتگرال‌گیری نمی‌باشد، کاربرد آن در مقایسه با روش‌هایی چون روش المان‌های محدود و روش المان‌های مرزی آسان‌تر است.

بر اساس مقالات موجود، بیشترین مسائل مورد توجه با استفاده از روش توابع پایه مسائل مقادیر مرزی بیضوی<sup>۱</sup> بوده است. از جمله تحقیقات صورت گرفته در سال‌های اخیر بر پایه این روش می‌توان به مقاله فیروزد و کاراجورجیس در سال ۱۹۹۸ اشاره نمود [۴۷]. در این مقاله استفاده از روش توابع پایه برای حل گروهی از مسائل مقادیر مرزی بیضوی مورد بررسی قرار گرفته است. ضمن آنکه در این مقاله بررسی گستردگی بر روی روش توابع پایه و روش‌های مشابه در طول سه دهه گذشته صورت گرفته است. در مرجع [۴۸] نیز روشی همسان برای حل مسائلی با اپراتورهای مختلف از جمله معادله اصلاح شده هلمهولتز و اپراتور بای‌هارمونیک<sup>۲</sup> توسط بگومونلی ارائه شده است.

حل مسائل الاستیستیه با استفاده از روش توابع پایه از دیگر مسائلی است که به طور ویژه مورد توجه قرار گرفته است. از جمله تحقیقات ارائه شده در این زمینه می‌توان به مقاله پولیکاس و همکاران در سال ۲۰۰۲ اشاره نمود [۴۹]. در این مقاله از توابع پایه چند جمله‌ای برای حل مسائل سه‌بعدی الاستیستیه بر روی محیط‌های ایزوتروپیک استفاده شده است. از جمله مزایای این روش انعطاف‌پذیری آن در حل مسائل بر روی ناحیه‌هایی با اشکال مختلف در دستگاه مختصات کارترین می‌باشد.

برگر و کاراجورجیس در سال ۲۰۰۱ روش توابع پایه را برای حل مسائل دو‌بعدی الاستیستیه در حالت ایزوتروپیک و غیرایزوتروپیک تک‌جنسی و دو‌جنسی به کار گرفتند [۵۰]. در این مقاله تجزیه ناحیه حل برای مواد دو‌جنسی به گونه‌ای است که در آن سطح مشترک میان دو ناحیه مانند روش مورد استفاده برای شرایط مرزی تقریب زده می‌شود. در این روش، هر ناحیه به صورت جداگانه مورد بررسی قرار گرفته و سپس با اعمال شرایط پیوستگی جابجایی و نیروهای سطحی در مرز مشترک میان دو ناحیه ارتباط میان دو قسمت برقرار می‌گردد.

### ۱-۳ روش حل و محتوای فصول آینده

در تحقیق حاضر حل معادلات دیفرانسیل ارتعاش اجباری و الاستیستیه تیرهای لایه‌ای با روشی مشابه با روش توابع پایه مورد بررسی قرار گرفته است. در کلیه مسائل مورد بررسی از توابع پایه نمایی<sup>۳</sup> به عنوان حل پایه معادلات

<sup>1</sup> Elliptic boundary value problems

<sup>2</sup> Biharmonic operators

<sup>3</sup> Exponential functions

استفاده شده است. هر چند در برخی مسائل، به منظور کامل شدن مجموعه جواب‌های پایه معادله لازم است از ترمهای چند جمله‌ای نیز در ترکیب با توابع پایه نمایی استفاده شود. لازم به ذکر است که در این مبحث، منظور از توابع پایه، توابع پایه نمایی بوده و متفاوت با توابع منفرد مورد استفاده در حل مسائل المان‌های مرزی می‌باشد و با عنوان توابع گرین هموار نیز شناخته می‌شوند که از این پس تنها با نام توابع پایه نمایی به آنها اشاره خواهد شد.

در روش ارائه شده در این تحقیق، محاسبه جواب همگن معادلات مورد بررسی، به صورت یک سری متشكل از ترکیب خطی توابع پایه نمایی (و یا ترکیبی از توابع پایه نمایی و توابع چندجمله‌ای) بیان می‌گردد. آنچه روش حاضر را از روش‌های متداول توابع پایه متمایز می‌سازد، نوع توابع پایه بوده که در این روش از توابع پایه نمایی استفاده شده، هم‌چنین در روش حاضر نحوه برآورد ضرایب ثابت در سری جواب با روش‌های دیگر توابع پایه متفاوت می‌باشد. در روش‌های متداول توابع پایه، با استفاده از یک سری نقاط مرجع<sup>۱</sup> در خارج از ناحیه حل، از روش‌هایی چون روش نقطه‌ای<sup>۲</sup> و یا روش حداقل مربعات<sup>۳</sup> برای محاسبه ضرایب ثابت استفاده شده است. در روش حاضر از تبدیلی ویژه برای محاسبه این ضرایب استفاده می‌گردد. این تبدیل برای اولین بار در مرجع [۴] و در حل مسائل انتشار امواج در محیط‌های نیمه بی‌نهایت به روش المان‌های محدود معرفی گردید. با استفاده از این تبدیل، محاسبه ضرایب در سری جواب تنها بر اساس ارضاء شرایط مرزی در گروهی از نقاط در نظر گرفته شده بر روی مرز ناحیه انجام می‌گیرد. با این وجود، استفاده از تبدیل اشاره شده در مقایسه با روش‌های متداولی چون روش نقطه‌ای و یا روش حداقل مربعات دارای مزایای ویژه‌ای است که در فصل دوم به طور کامل به آن پرداخته خواهد شد.

در مرجع [۵۱] از تبدیل اشاره شده جهت ارائه مدلی برای حل مسائل پی بر روی محیط‌های نیمه بی‌نهایت به روش اجزاء محدود و با استفاده از توابع گرین استفاده شده است. در این مقاله از تکنیکی جدید برای حل مسائل با شرایط مرزی مختصاط استفاده شده است که بر مبنای یکی از روش‌های ارائه شده در تحقیق حاضر می‌باشد.

بر این اساس، در فصول دوم و سوم به ترتیب حل مسائل الاستیستیه تیرهای لایه ای ایزوتروپیک و حل مسائل ارتعاش اجباری این مواد با استفاده از روش توابع پایه مورد بررسی قرار گرفته است. در فصل چهارم فرم گستردۀ روابط فصول دوم و سوم برای مواد ارتوتروپیک ارائه می‌گردد و در فصل پنجم کلیه روابط با ارائه مثال‌های متعدد مورد بررسی قرار خواهند گرفت.

<sup>1</sup> Source points

<sup>2</sup> Collocation method

<sup>3</sup> Least-square method

## ۱-۲ مقدمه

در این فصل حل تیرهای لایه‌ای تحت بارهای استاتیکی مورد بررسی قرار گرفته است. در ابتدا، حل معادله دیفرانسیل تعادل برای تیر یک لایه مورد بررسی قرار می‌گیرد. بدین منظور پاسخ این معادله همگن به صورت یک سری مت Shankl از توابع نمایی (توابع گرین) بیان می‌گردد و راه‌های مختلف به دست آوردن ضرایب این سری و ارضاء شرایط مرزی مورد بررسی قرار می‌گیرد. در این راستا، منابع خطای موجود در این حل و تمهدات لازم برای به حداقل رساندن خطای طور کامل مورد بررسی قرار خواهد گرفت و در انتهای فصل، روش حل تیرهای لایه‌ای با روشی مشابه روش ذکر شده برای تیرهای یک لایه بیان می‌گردد.

## ۲-۲ حل معادله تعادل تیر یک لایه

محاسبه مقادیر تنش و توزیع کرنش در محیط‌های پیوسته از جمله الزامات بسیاری از علوم مهندسی می‌باشد. حالت‌های خاص چنین مسائلی را می‌توان شامل مسائل دوبعدی تنش یا کرنش مستوی، مسائل خمش در ورق‌ها و پوسته‌ها و نیز مسائل الاستیستیه متقارن محوری دانست. در این میان، حل معادله حاکم بر مسائل الاستیستیه مستوی که از پرکاربردترین معادلات همزمان در علوم مهندسی محسوب می‌گردد از جمله مهمترین اهداف محققین بوده است. این معادله به صورت زیر بیان می‌گردد

$$(\mathbf{S}^T \mathbf{D} \mathbf{S}) \mathbf{U} + \mathbf{b} = \mathbf{0} \quad (1-2)$$

به طوری که در معادله فوق  $\mathbf{U}$  برابر با بردار جابجایی

$$\mathbf{U} = \begin{Bmatrix} u \\ v \end{Bmatrix} \quad (2-2)$$

## فصل دوم

### حل تیرهای لایه‌ای تحت بارهای استاتیکی

و  $\mathbf{b}$  بردار نیروهای بدنی می‌باشد.

$$\mathbf{b} = \begin{Bmatrix} b_x \\ b_y \end{Bmatrix} \quad (3-2)$$

و در این حالت اپراتور  $\mathbf{S}$  به صورت زیر تعریف می‌گردد

$$\mathbf{S}^T = \begin{pmatrix} \frac{\partial}{\partial x} & 0 & \frac{\partial}{\partial y} \\ 0 & \frac{\partial}{\partial y} & \frac{\partial}{\partial x} \end{pmatrix} \quad (4-2)$$

و ماتریس  $\mathbf{D}$  نیز ماتریس سختی در رابطه تنش-کرنش هوك می‌باشد که برای یک محیط همگن و ایزوتروپیک برابر است با

$$\mathbf{D} = \begin{pmatrix} D_1 & D_2 & 0 \\ D_2 & D_1 & 0 \\ 0 & 0 & D_3 \end{pmatrix} \quad (5-2)$$

به این ترتیب، با توجه به روابط (۱-۲) تا (۵-۲) می‌توان معادله دیفرانسیل حاکم بر مسائل الاستیسیته مستوی را به صورت زیر بسط داد

$$\begin{pmatrix} D_1 \frac{\partial^2}{\partial x^2} + D_3 \frac{\partial^2}{\partial y^2} & (D_2 + D_3) \frac{\partial^2}{\partial x \partial y} \\ (D_2 + D_3) \frac{\partial^2}{\partial x \partial y} & D_3 \frac{\partial^2}{\partial x^2} + D_1 \frac{\partial^2}{\partial y^2} \end{pmatrix} \begin{Bmatrix} u \\ v \end{Bmatrix} + \begin{Bmatrix} b_x \\ b_y \end{Bmatrix} = \mathbf{0} \quad (6-2)$$

بنابراین، حل معادله (۶-۲) کلید اساسی در آنالیز تنش و بررسی توزیع کرنش در محیط‌های پیوسته می‌باشد. در ادامه، حل این معادله در حالت همگن مورد بررسی قرار خواهد گرفت.

### ۳-۲ حل بخش همگن جواب در معادله الاستیسیته

همان‌گونه که بیان شد، در روش حاضر برای حل معادلات از روش توابع پایه استفاده می‌شود، به این منظور جواب تقریبی معادله همگن به صورت سری زیر فرض می‌گردد

$$\hat{\mathbf{U}}_H = \sum \left\{ \begin{Bmatrix} c_i \\ d_i \end{Bmatrix} e^{\alpha_i x + \beta_i y} \right\} \quad (7-2)$$

در این حالت، برای محاسبه رابطه میان ضرایب  $\alpha_i$  و  $\beta_i$  و نیز رابطه میان ضرایب ثابت ( $c_i$  و  $d_i$ ) در سری فوق، با قرار دادن  $\hat{\mathbf{U}}_H$  در معادله (۶-۲) و با فرض  $\mathbf{b} = \mathbf{0}$  خواهیم داشت

$$\begin{pmatrix} D_1 \alpha_i^2 + D_3 \beta_i^2 & (D_2 + D_3) \alpha_i \beta_i \\ (D_2 + D_3) \alpha_i \beta_i & D_3 \alpha_i^2 + D_1 \beta_i^2 \end{pmatrix} \begin{Bmatrix} c_i \\ d_i \end{Bmatrix} e^{\alpha_i x + \beta_i y} = \mathbf{0} \quad (8-2)$$

برای آنکه معادله فوق دارای جواب‌های غیرصفر برای ضرایب  $c_i$  و  $d_i$  باشد لازم است

$$\begin{vmatrix} D_1 \alpha_i^2 + D_3 \beta_i^2 & (D_2 + D_3) \alpha_i \beta_i \\ (D_2 + D_3) \alpha_i \beta_i & D_3 \alpha_i^2 + D_1 \beta_i^2 \end{vmatrix} = 0 \quad (9-2)$$

بنابراین با محاسبه دترمینان فوق، معادله مشخصه حاصل به صورت زیر به دست می‌آید

$$(D_1 \alpha_i^2 + D_3 \beta_i^2)(D_3 \alpha_i^2 + D_1 \beta_i^2) - (D_2 + D_3)^2 \alpha_i^2 \beta_i^2 = 0 \quad (10-2)$$

به این ترتیب، با حل معادله فوق رابطه میان ضرایب  $\alpha_i$  و  $\beta_i$  به دست خواهد آمد. ضرایب  $c_i$  و  $d_i$  نیز باید

به گونه‌ای انتخاب شوند که بردارهای ویژه معادله (8-2) باشند. در این صورت می‌توان سری  $\hat{\mathbf{U}}_H$  را به شکل زیر بازنویسی نمود

$$\hat{\mathbf{U}}_H^* = \sum C_i^* \begin{Bmatrix} \lambda \\ 1 \end{Bmatrix} e^{\alpha_i x + \beta_i y} \quad (11-2)$$

در رابطه فوق بردار  $\{\lambda, 1\}$ ، بردار ویژه معادله (8-2) می‌باشد. حل معادله (10-2) و محاسبه بردارهای ویژه رابطه (8-2) مقادیر زیر را برای  $\alpha_i$  و  $\beta_i$  به دست می‌دهد

$$\begin{cases} \alpha_i = \pm i \beta_i \rightarrow \lambda = \pm i \\ \beta_i = \pm i \alpha_i \rightarrow \lambda = \mp i \end{cases} \quad (12-2)$$

در رابطه بالا  $i = \sqrt{-1}$  می‌باشد. در معادله (10-2) جواب‌ها به صورت تکراری ظاهر می‌شوند پس به همین علت رابطه (7-2) دارای دو جواب دیگر به صورت زیر می‌باشد

$$\hat{\mathbf{U}}_H^{**} = \sum C_i^{**} \begin{Bmatrix} a_1 x + b_1 y + c_1 \\ a_2 x + b_2 y + c_2 \end{Bmatrix} e^{\alpha_i x + \beta_i y} \quad (13-2)$$

مجددتاً می‌توان با قرار دادن  $\hat{\mathbf{U}}_H^{**}$  در معادله (6-2) و با فرض  $\mathbf{b} = \mathbf{0}$ ، رابطه میان ضرایب چند جمله‌ای در رابطه فوق را به صورت زیر به دست آورد

$$\begin{cases} \beta_i = -i \alpha_i \rightarrow \hat{\mathbf{U}}_H^{**} = \sum C_i^{**} \left( a \begin{Bmatrix} i \\ 1 \end{Bmatrix} x + b \begin{Bmatrix} i \\ 1 \end{Bmatrix} y + c \begin{Bmatrix} f(a, b, c) \\ 1 \end{Bmatrix} \right) e^{\alpha_i x - i \alpha_i y} \\ \beta_i = +i \alpha_i \rightarrow \hat{\mathbf{U}}_H^{**} = \sum C_i^{**} \left( a \begin{Bmatrix} -i \\ 1 \end{Bmatrix} x + b \begin{Bmatrix} -i \\ 1 \end{Bmatrix} y + c \begin{Bmatrix} g(a, b, c) \\ 1 \end{Bmatrix} \right) e^{\alpha_i x + i \alpha_i y} \end{cases} \quad (14-2)$$

با توجه به آنکه در رابطه فوق  $a$ ،  $b$  و  $c$  ضرایبی دلخواه می‌باشند، به ازای مقادیر مختلف این ضرایب بی‌نهایت دسته جواب برای رابطه (۱۴-۲) به دست می‌آید. با این وجود، به دلیل آنکه معادله مشخصه (۱۰-۲) معادله‌ای از درجه چهار می‌باشد، در نظر گرفتن تنها چهار دسته جواب مستقل از یکدیگر برای ساخت سری  $\hat{U}_H$  کفايت می‌کند. [۵۲] بنابراین، از آنجا که به ازای هر انتخاب برای ضرایب  $a$ ،  $b$  و  $c$  دو دسته جواب بر طبق معادله (۱۴-۲) وجود خواهد داشت، لازم است یک ترکیب مستقل خطی از ضرایب مذکور معرفی گردد. بررسی‌های صورت گرفته نشان می‌دهد انتخاب هر ترکیب مستقل خطی از ضرایب  $a$ ،  $b$  و  $c$  به گونه‌ای که مقادیر  $a$  و  $b$  در هر دو ترکیب به طور همزمان صفر نباشند، نتایج مطلوبی در محاسبه جواب همگن به همراه خواهد داشت. در حل حاضر از ترکیب زیر استفاده شده است

$$\{a = 0, \quad b = 1, \quad c = 1\} \quad (15-2)$$

ترکیب دوم را نیز می‌توان به عنوان بخش گمشده جواب‌ها در معادله (۱۵-۳) محسوب نمود.

مقادیر  $(c)$  و  $(g(a, b, c))$  در رابطه (۱۴-۲) و در حالتی که  $b=c=1, a=0$  باشد برابرند با

$$\begin{cases} f(0,1,1) = \frac{i(-3 + \alpha_i + \nu + \alpha_i \nu)}{\alpha_i(1+\nu)} \\ g(0,1,1) = -\frac{i(-3 + \alpha_i + \nu + \alpha_i \nu)}{\alpha_i(1+\nu)} \end{cases} \quad (16-2) \text{ مسئله کرنش مستوی}$$

$$\begin{cases} f(0,1,1) = \frac{i(-3 + \alpha_i + 4\nu)}{\alpha_i} \\ g(0,1,1) = -\frac{i(-3 + \alpha_i + 4\nu)}{\alpha_i} \end{cases} \quad (17-2) \text{ مسئله تنش مستوی}$$

با توجه به چهار دسته جواب به دست آمده، می‌توان جواب معادله همگن را به صورت سری زیر فرض نمود

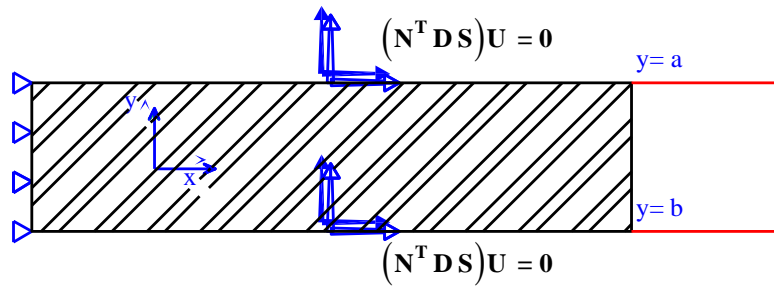
۱۸-۲) مسئله کرنش مستوی

$$\hat{U}_H = \sum_{i=1}^n C_i (\lambda_{i1} \begin{Bmatrix} i \\ 1 \end{Bmatrix} e^{\alpha_i x - i \alpha_i y} + \lambda_{i2} \begin{Bmatrix} -i \\ 1 \end{Bmatrix} e^{\alpha_i x + i \alpha_i y} + \lambda_{i3} \begin{Bmatrix} i \\ 1 \\ 1 \\ \frac{i(-3 + \alpha_i + \nu + \alpha_i \nu)}{\alpha_i(1+\nu)} \end{Bmatrix} e^{\alpha_i x - i \alpha_i y} + \lambda_{i4} \begin{Bmatrix} -i \\ 1 \\ 1 \\ \frac{i(-3 + \alpha_i + \nu + \alpha_i \nu)}{\alpha_i(1+\nu)} \end{Bmatrix} e^{\alpha_i x + i \alpha_i y})$$

۱۸-۳) مسئله تنش مستوی

$$\hat{U}_H = \sum_{i=1}^n C_i (\lambda_{i1} \begin{Bmatrix} i \\ 1 \end{Bmatrix} e^{\alpha_i x - i \alpha_i y} + \lambda_{i2} \begin{Bmatrix} -i \\ 1 \end{Bmatrix} e^{\alpha_i x + i \alpha_i y} + \lambda_{i3} \begin{Bmatrix} i \\ 1 \\ 1 \\ \frac{i(-3 + \alpha_i + 4\nu)}{\alpha_i} \end{Bmatrix} e^{\alpha_i x - i \alpha_i y} + \lambda_{i4} \begin{Bmatrix} -i \\ 1 \\ 1 \\ \frac{i(-3 + \alpha_i + 4\nu)}{\alpha_i} \end{Bmatrix} e^{\alpha_i x + i \alpha_i y})$$

برای تعیین متغیرهای  $\alpha_i$  و ضرایب  $\lambda_{i1}$  تا  $\lambda_{i4}$  فرض می کنیم که تنش در بالا و پایین تیر برابر صفر باشد



شکل ۱-۲ تنش در بالا و پایین تیر

همان طور که در شکل ۱-۲ مشخص می باشد محل دستگاه مختصات تأثیری در حل مسئله نخواهد داشت. رابطه

نشان داده شده در شکل بالا رابطه تنش در راستای x و y بوده و منظور از  $N^T D S$ ، ماتریس

کسینوس های نرمال سطح تیر با محورهای مختصات می باشد. حل روابط نشان داده شده در شکل منجر به تشکیل

یک دستگاه معادلات  $4 \times 4$  شده که می توان آنرا به صورت زیر نشان داد

$$e^{\alpha_i x} \begin{pmatrix} f_{11}(\alpha_i) & f_{12}(\alpha_i) & f_{13}(\alpha_i) & f_{14}(\alpha_i) \\ f_{21}(\alpha_i) & f_{22}(\alpha_i) & f_{23}(\alpha_i) & f_{24}(\alpha_i) \\ f_{31}(\alpha_i) & f_{32}(\alpha_i) & f_{33}(\alpha_i) & f_{34}(\alpha_i) \\ f_{41}(\alpha_i) & f_{42}(\alpha_i) & f_{43}(\alpha_i) & f_{44}(\alpha_i) \end{pmatrix} \begin{pmatrix} \lambda_{i1} \\ \lambda_{i2} \\ \lambda_{i3} \\ \lambda_{i4} \end{pmatrix} = \mathbf{0} \quad (19-2)$$

همان‌گونه که رابطه (۱۹-۲) مشخص است، ماتریس اصلی فقط تابع  $\alpha_i$  می‌باشد و ترم  $e^{\alpha_i x}$  تأثیری در رابطه (۱۹-۲) ندارد، پس می‌توان رابطه (۱۹-۲) را به فرم ساده شده زیر نیز نشان داد

$$(\mathbf{A}_i) \begin{pmatrix} \lambda_{i1} \\ \lambda_{i2} \\ \lambda_{i3} \\ \lambda_{i4} \end{pmatrix} = \mathbf{0} \quad (20-2)$$

بنابراین می‌توان با صفر قرار دادن دترمینان ماتریس  $\mathbf{A}_i$ ،  $\alpha_i$  ها را که به صورت اعداد موهومی می‌باشند را به دست آورد و هم‌چنین ضرایب  $\lambda_{i1}$  تا  $\lambda_{i4}$  متاظر هر  $\alpha_i$ ، برابر فضای پوچ<sup>۱</sup> ماتریس  $\mathbf{A}_i$  می‌باشند. با قرار دادن این ضرایب در روابط (۱۸-۲-الف و ب) مودهای مورد نظر به دست می‌آیند. نکته مهم در این قسمت این است که ریشه‌های  $\alpha_i$  با استفاده از روش‌های عددی معمول در حل معادلات به دست می‌آیند، از این‌رو در روش ارائه شده در این پایان‌نامه دقت محاسبات به گونه‌ای تعیین شده است که جواب‌های به دست آمده منطقی و رضایت‌بخش باشد.

نکته مهم در روند توضیح داده شده این است که دترمینان ماتریس  $\mathbf{A}_i$  دارای چهار ریشه صفر تکراری  $= 0$  بوده که این نشانگر وجود ریشه‌هایی به صورت چند جمله‌ای حد اکثر تا درجه سه می‌باشد. برای مثال اگر فرض کنیم که این چند جمله‌ای به فرم زیر باشد

$$\begin{cases} a_0 + a_1 x + a_2 y + a_3 x^2 + a_4 xy + a_5 y^2 + a_6 x^3 + a_7 x^2 y + a_8 xy^2 + a_9 y^3 \\ b_0 + b_1 x + b_2 y + b_3 x^2 + b_4 xy + b_5 y^2 + b_6 x^3 + b_7 x^2 y + b_8 xy^2 + b_9 y^3 \end{cases} \quad (21-2)$$

و معادله تعادل و روابط تنش را در بالا و پایین تیر در مورد آن ارضا کنیم، این چند جمله‌ای‌ها اگر دستگاه مختصات در مرکز تیر باشد، برای مسئله کرنش مستوی به صورت زیر می‌باشند

$$\begin{cases} a_0 + a_1 x - b_1 y - \frac{1}{2}b_8 h^2 y + a_4 xy + \frac{1}{3}b_8 y^3 - \frac{1}{2\nu}b_8 h^2 y - \frac{1}{\nu}b_8 x^2 y + \frac{2}{3\nu}b_8 y^3 \\ b_0 + b_1 x - \frac{1}{2}a_4 x^2 + b_8 xy^2 + \frac{1}{3\nu}b_8 x^3 - a_1 \nu y - \frac{1}{2}a_4 \nu y^2 \end{cases} \quad (22-2)$$

در رابطه بالا  $h$  ضخامت تیر می‌باشد. بنابر رابطه (۲۲-۲)، سری جواب همگن دارای شش جمله به صورت زیر می‌باشد.

---

<sup>۱</sup> Null space